

# 宇宙空間での電子ビーム放射にともなう飛翔体の帶電と放電現象

佐々木 進 田沢 仁志 長井 孝 河島 信樹 堤井 信力  
 (宇宙科学研) (武蔵工大) (宇宙科学研) (武蔵工大)

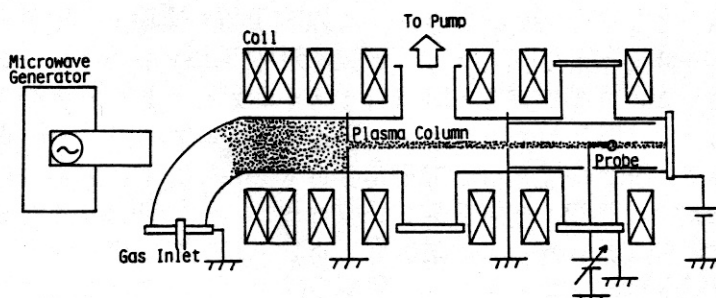
## §1. 序論

宇宙空間での飛翔体用いた電子ビーム放射実験は、1969年 Hess 等 [1] が開始して以来、人工オーロラの生成によるオーロラメカニズムの研究、電子エコーによる宇宙空間電場、磁場の遠隔探査、壁のない空間での波動・粒子相互作用の研究といふ目的で、盛んに行われるようになった。これらの実験で従来から問題になっているのは、電子ビーム放出にともなう飛翔体の帶電現象である。通常の飛翔体のスケールでは、無限遠に対する真空中の静電容量は、 $1000 \text{ pF}$  程度なので、真空中では  $100 \text{ mA}$  の電子ビームを放出すれば、 $0.1 \text{ m sec}$  で  $10 \text{ KV}$  迄帶電する。実際には、宇宙空間には希薄プラズマが存在するので、この状況は緩和されるか、宇宙空間プラズマからの飽和電子電流は  $1 \text{ mA/m}^2$  にすぎず、 $100 \text{ m}^2$  以上の導電表面を持たない限り、 $100 \text{ mA}$  以上の電子ビームを強引に帶電なく放出することは不可能と予測される。ところが過去のロケット実験の結果を見ると、現実には、帶電は、上述の予測よりはるかに小さいことが判明している。このことは、ビーム放射にともなって飛翔体周辺に大量のアラズマが生成され、それによつて帶電が緩和されていることを意味している。電子ビーム放射にともなう大量のアラズマ発生のメカニズムとしては、Beam Plasma Discharge (BPD) が従来から提案されている。これは、ビームアラズマ相互作用によって励起した波動が、RF 放電を引き起こすというメカニズムで、実験室レベルでは、既に 1963 年に、Getty [2] 等によつて研究されており、現在ではアラズマ生成のいとつの方法としても確立している。1978 年に、Bernstein 等 [3] が、NASA、JSC の大型スペースセンターを使用して宇宙空間での電子ビーム放射実験を模擬し、実際に BPD を観測してからは、宇宙空間での電子ビーム放射実験についても BPD は容易に発生し、それが帶電現象を抑止するメカニズムであると実験家達は考えるようになっている。しかしながら、宇宙空間での飛翔体からの電子ビーム放射実験では、閉じた壁がなく加熱電子のトラッピングが行われないこと、飛翔体が正電位に帶電し加熱電子を吸収すること、飛翔体がイオ・熱速度以上の速度で飛翔するため一本の磁力管へのビーム入射時間が短かいこと等が、実験室実験の場合と異つてあり、宇宙空間では BPD が発生しやすいと考えてよい [4]。ビーム放射中の飛翔体周辺にアラズマが発生するもういとつのメカニズムとして、帶電にともなう電子群のトラッピング効果による放電現象を考えることができる [5]。地球磁場の存在する地球周

辺宇宙空間にあっては、通常の飛翔体スケールでは電子の運動は磁場の影響を強く受ける。このような状況下にある正電位帶電体の周辺では、電子は  $E \times B$  のドリフト運動を行い、その運動に起因する電離現象が、飛翔体周辺に大量のプラズマを作る可能性がある。磁場に垂直方向の電子のドリフト運動と磁場に平行方向の電場による運動は、飛翔体周辺に電子をトランプすることになり、「バッファラウンド」に存在する中性ガス量が少ないとしかからず、( $\sim 10^{-6}$  Torr)、飛翔体周辺での高い確率での電離が可能となる (Rotating Electrons Discharge Model)。本研究では、このような現象が実際に発生するかを調べるために磁化プラズマコラムと接続する球プローブに正電位の電圧を印加して、プローブ周辺のプラズマ状態の光学的観測、プローブの電圧、電流特性の測定を行った。§2 に実験装置の説明、§3 に実験結果との解釈を示す。§4 では、昨年 11 月～12 月に飛翔したスペースシャトル 9 号機で行われた電子ビーム放射実験 (SEPARAC) への本実験結果の応用を述べる。

## §2. 実験装置

実験装置は、オイ 図に示すようにプラズマ発生領域（左側）とプローブ実験領域（右側）とからなり、それぞれの領域に独立した循環磁場 ( $0 \sim 1000$  Gauß) を印加することができる。プラズマ発生領域では、 $2.45$  GHz 最大出力  $4.5$  KW のマグネットロンを使用して、電子ケイロトロン共鳴加熱によって、プラズマを生成する。共鳴磁場強度は、約  $900$  Gauss である。本装置で生成されるプラズマのパラメータは、ソース領域で  $10^9 \sim 10^{10} / \text{cc}$ 、電子温度  $100$  eV 程度である。He ガスをプラズマ発生領域に導入し、ポンプ領域（中央）との間にしきり板（穴径  $5\%$ ）を入れることによって実験領域が高真空中の場合にも安定したプラズマ生成ができるようにした。プローブ実験領域は接地した導体シェルでガラス管内部をふさい、上流にはしきり板（穴径  $10\%$ ）をあてて、プローブコラムを形成した。しきり板の穴位置は、管軸から  $20$



オイ 図 実験装置

mm ずれれた所に設定した。プローブは、20mmΦ のステンレス球を用い、ほぼ管軸上に位置させ プラズマコラムがプローブに直接当たらぬ様配置せし。本実験で一様プラズマを用いるプローブと直接接触しないプローブコラムを用いた理由は、あとで示すように プローブ周辺での回転電荷群の存在を明らかにするために都合のよい配置だからである。実験領域へのプラズマ流入量は、右端フランジに +10V を印加し、その電流測定によってモニターした。実験領域ごとのプラズマと電離層のプラズマパラメーターの比較をオイ表に示す。

	実験領域	電離層
$n_e$ 電子密度	$10^6 \text{ cc}^{-1}$	$10^5 \sim 10^6 \text{ cc}^{-1}$
$T_e$ 電子温度	$\sim 5 \text{ eV}$	0.1 eV
$n_n$ 中性ガス密度	$3.5 \times 10^{12} \text{ cc}^{-1}$	$10^9 \text{ cc}^{-1}$
B 磁場強度	10~760 Gauss	0.3 Gauss
L 平均自由行程	30 m	$10^5 \text{ m}$
$\lambda_D$ デバイ長	1.6 cm	2.3 mm
l スケール	2 cm	30 m

オイ表 本実験と電離層のプラズマの代表的パラメーターの比較、ステークルは実験に用ひたプローブ径とスペースシャトル寸法を比較した。

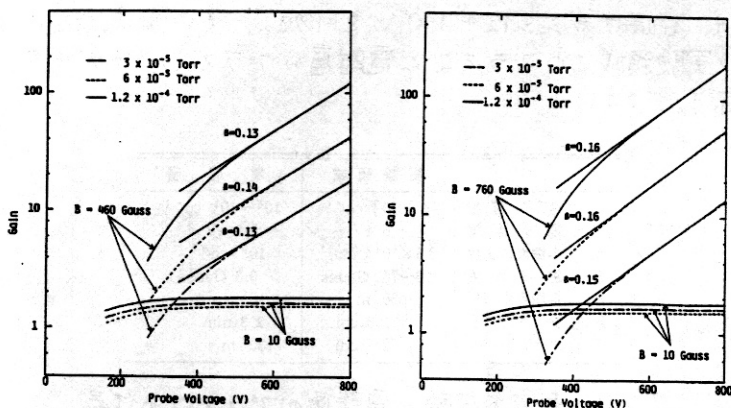
### §3 実験結果とその解説

実験領域へのプラズマ流入フラックス量は、実験パラメーター（真空度、磁場強度、マイクロ波パワー）に複雑に依存する。これはプラズマ生成条件の違いと実験領域へ到達する迄の中性ガスとの衝突頻度によるものと考えられる。異なるパラメーターでのプローブ電流の絶対値を比較する場合にはプローブ電流を入力フラックス量で規格化した値（Gain）を用ることにより初期条件の差を減殺した。

#### 3-1. プローブ電圧・電流特性

各真空度 ( $3 \times 10^{-5} \text{ Torr} \sim 1.2 \times 10^{-4} \text{ Torr}$ )、各磁場強度 (10, 460, 760 Gauss) でのプローブ電圧・電流特性をオイ図に示す。図から明らかなように、磁場強度が小さい時には (10Gauss)、200V付近で電流が飽和しているのに對し、磁場強度が大きい時には 200V付近から急速に電流が増加しきりだ。磁場が弱い場合には 電圧を上げていくと 実験領域に入るとフラックスが全てプローブに流れ込む (Gain  $\sim 1$ ) にすぎないが、磁場が強い場合には 明らかに入力フラックス以上の電流がプローブへ流れ込んでおり (Gain  $\gg 1$ )、しかも電圧が高い場合には 電圧增加に対し、電流が指数関数的に増加している。このことは磁場が強い場合には 実験領域内に極めて強力なプラズマ生成メカニズムが存在することを示している。実験領域の長さは約 30 cm なのに対し 電離の平均自由行程は、真空度  $10^{-4}$

Torrの場合でも電離断面積を  $10^{-16} \text{ cm}^2$  として約 30m なので、実験領域に入ってきた電子がプローブ電圧によって加速され、電離によって新たにプラズマを生成したとしても、その増加分は 1% 程度であり、とうてい本実験のような Gain (最大 200) を説明することはできない。



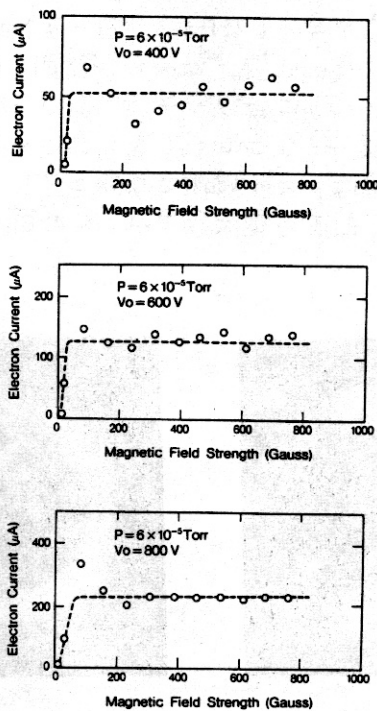
オ2図 プローブ電流を実験領域への流入電子電流量で規格化した量 (Gain) のプローブ電圧依存性 (磁場強度 10, 460, 760 Gauss). 図中  $\beta$  は  $\text{Gain} \propto 2^{\beta \sqrt{V}}$  ( $\phi$ : 電離ホテンシャル) と表わした時の値

### 3-2 プローブ電流の磁場強度依存性

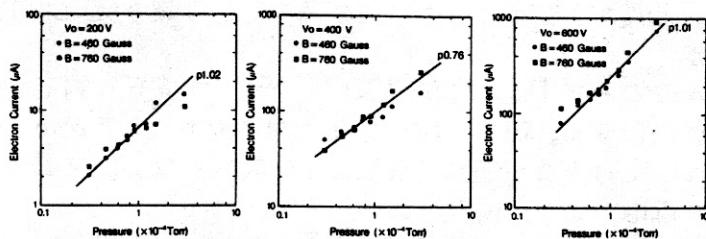
上で示したように、プローブ電流の増加現象には強い磁場の存在が本質的な役割を果たしている。このことを詳細に調べるために、プローブ電圧を固定し (400, 600, 800 V)、プローブ電流の磁場依存性を測定した (オ3図)。どの場合でも磁場強度が数十 Gauss を越えると急速に電流が増加し、しかもそれ以上の磁場強度では特に顕著な依存性はないことがわかる。電流増加のみをはじめる磁場強度は、電圧が高い程大きいことも測定された。

### 3-3 プローブ電流の真空度依存性

実験領域内の真空度に対するプローブ電流依存性をオ4図に示す。ノーラメーターはプローブ電圧 200, 400, 600 V, 磁場強度 460, 760 Gauss である。いずれの場合もプローブ電流は真空度に対しほぼリニアに依存して増加する。



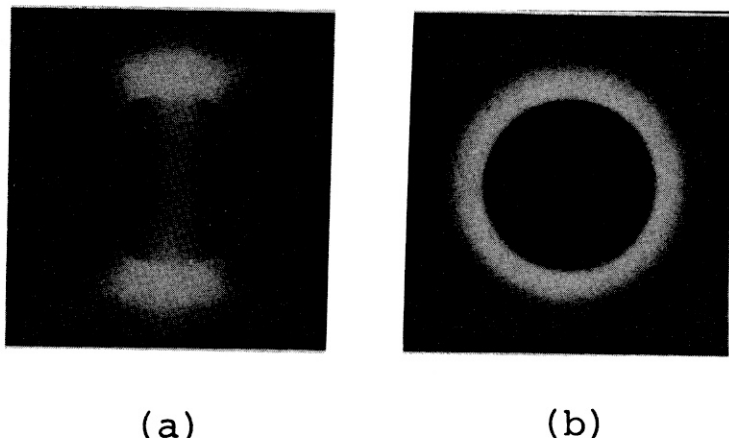
第3図、プローブ電流の磁場強度依存性、磁場の弱い時は電流増幅がみきないのでに対し、磁場が数十Gaussを越えると電流増幅がみられる。又磁場が100Gaussを越えると電流は磁場には強く依存しない。



第4図、プローブ電流の真空度依存性、プローブ電圧200, 400, 600Vの場合、それぞれ真空度の1.02, 0.76, 1.01乗に比例する。

### 3-4. 光学観測結果

このような電子増殖現象が発生した時 プローブ周辺がどのような状態になつてゐるかを カメラの長時間露光によつて観測した(オル図)。(a)は磁場に垂直方向からの写真で、(b)は磁場に平行方向からの写真である(プローブ電圧 600 V, 磁場強度 460 Gauss, 真空度  $6 \times 10^{-5}$  Torr)。プローブ周囲に存在する明るい部分は、その場所での高エネルギー電子の存在とプラズマ生成を示唆してあり 前述の電流増殖は この部分で行われていると考えてよい。



オル図. プローブ周囲の写真観測.

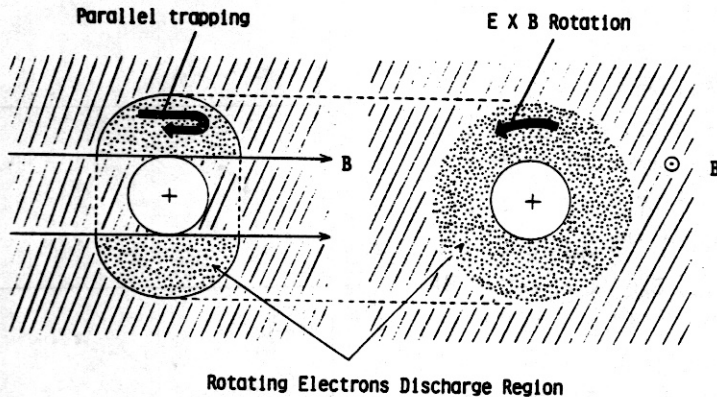
### 3-5. 電子電流増殖のメカニズムの検討

以上の実験結果をまとめると

1. 磁場強度が 数十 Gauss 以上の時、大きな電子電流増殖現象が発生する。
2. このプローブ電流の増殖現象は プローブ電圧に対しては指數関数的に依存する。磁場に対しては 増殖が生じるためのしきい値が存在し、このしきい値は電圧とともに下さくなる。又真空度に対しては ほぼ(リニア)に依存する。
3. このようなプローブ電流増殖現象が生じている場所は、プローブ周囲の磁場に平行な軸を持つ円環領域と考えられる。

ここで 本実験で観測された電子電流増殖現象がどのようなメカニズムで発生するかを検討してみる。実験領域に流入した電子は、プローブによる電場で加速され、後ろフランジに到達するが、一部の電子はその途中で中性ガスと衝突し ある確率で電離を引き起こし 実験領域に2次的な電子を発生させる。これら2次的に発生した電子及び電離に関してエネルギーを失つた

電子は、磁力線に垂直方向には、磁場と電場の影響の下で、オルターナンス右図に示すような旋回ドリフト運動をする。電子の旋回中心は、一定の回転半径で一定の速度でプローブのまわりを回転しつづける。一方磁力線と平行方向には、これら電子は、アローブ（正電位）と周囲壁（クラウンド）によって形成されるポテンシャルウェル内で、オルターナンス左図に示すような往復運動を続ける。



オルターナンス 図 磁化プラズマ中の正電位帯電体周囲にある  
電子の運動

これら電子は、プローブと周囲壁との間にトラップされ、旋回運動をくり返して最終的には再び中性ガスと衝突することになる。このことは、たとえバックグラウンドの中性ガス密度が小さく、電子と中性ガスとの衝突の平均自由行程が実験領域のスケールよりもはるかに大きい場合でも、プローブ周辺での電子のトラッピング効果のため、プローブ周辺で電離がひきおこされることを意味している。この電離に費されるエネルギーは、正電位プローブによる電場によって与えられ、電子は、中性ガスとの衝突によって、よりプローブに近づき、平衡軌道に移っていく。電離によって新たに作られた電子も、同様のトラッピング効果をうけて新たな電離をひきおこす。このプロセスを繰り返しながら電子電流は増加され、中性ガス密度が小さい場合でも、空間的な電離確率が増加し、いわゆるなどれ電離現象（放電）をひきおこすことができる（Rotating Electrons Discharge モデル）。この過程で生じたイオンは、そのラムア半径が大きいため磁場の影響を強く受けず、容易に周囲壁に到達する。

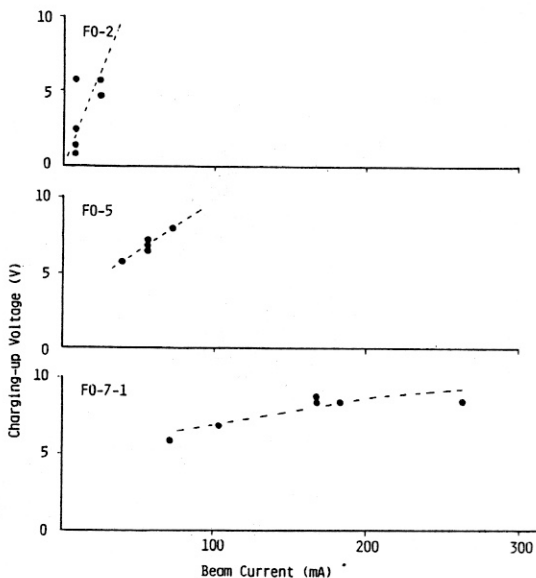
#### §4 SEPAC 実験への応用

SEPAC 実験は、1983年11月末に打ち上げられたスペースラブ1号機(STS-9号機)で、日米共同実験として実施された[6]。電子ビーム

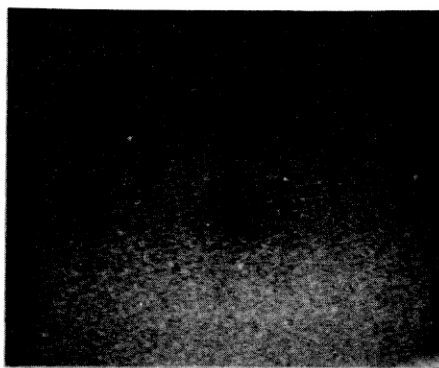
ム装置の最大出力は 5 KV 300 mA であり、計測器としては、低照度-TV カメラ、電子エネルギー分析器、ラングミュアプローブ、フローティングプローブ、波動受信機、フォトメーターが搭載された。オービターが帶電すると、ラングミュアプローブの信号が正側にシフトするが、このシフト量から逆にオービターの帶電電圧を知ることができる。オービターの帶電電圧のビーム電流依存性をいくつかの

実験シークエンスについて  
オフ図に示す。図より F0-2  
と呼ばれる実験シークエンス  
の時、最も帶電が大きかった  
ことがわかる。高電圧帶電時  
の帶電電圧の計測は、電子エ  
ネルギー分析器で行うことにして  
いたが、帶電とともになう  
instrumental な effect が非  
常に大きく、地上テストデ  
ータとの比較によつて得られた  
予備的結果は、F0-2 の場合  
ビーム電流 100 mA 以上で、キロ  
ボルト以上の帶電が発生した  
と思われる。この時、TV カ  
メラで観測したオービター搭  
載荷台は白く輝き、又中空に  
白い雲状のものが発生したこと  
が認められた（オフ図）。

オービターの輝きは、オービ  
ターの帶電が、キロボルト程  
度になるとことを示してあり  
、白い雲の存在は、放電現象  
が励起されたことを示唆して  
いる。この放電の発生する条  
件を、パーセンス ( $\%/\sqrt{\text{m}}$ )  
及びビーム電流値でまとめた  
のが、オフ図である。この放  
電が、地上実験でよく見られる  
BPSM に起因するものとす  
れば、パーセンスに対し、  
しきい値を持つはずであるが  
、実験データはむしろビーム



オフ図 SEPAC 実験でのオービタ  
の帶電電圧



オフ図 TV カメラで観測  
したビーム放射中の  
オービター周辺に現れ  
た“白い雲”

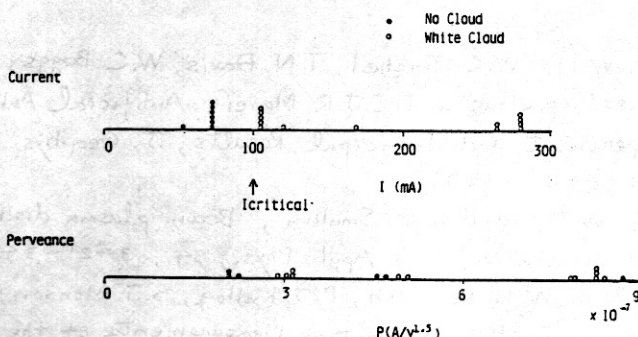


図9図.“白い雲”(放電)の発生する条件。電流に対しては明確なしきい値があるが、パーベンスに対してはない。

電流にしきい値があることを示している。ビーム電流は、帯電電圧に対応するので、この放電は 帯電電圧があるレベル( $\text{kV}$ )を越えた時、励起されたと見らるが正しそうである。この白い雲はオービタ-後部、即ち唯一の大きなコンダクターである main engine 付近で発生していることが、TV のデータから明らかになっていく。SE PAC 実験の行われた高度は、250km で真空度は、 $1 \times 10^{-6}$  Torr 以下のため、一つあるいはクロ-放電の発生した可能性はない。SE PAC 実験のデータは ぼう文で未だ最終結論は得られていないが、これ迄のデータ解析の結果は オービタ-がキロボルト程度迄帯電した時 オービタ-導電部付近で、REDS にもとづく放電現象が励起された可能性がもやめて強いと言える。

### 35 結論

宇宙空間で飛翔体から電子ビーム放射を行った場合に从ふられる放電現象のメカニズムのひとつを実験的に研究した。磁化プラズマ中では、正電位帯電体の周囲にドリフト運動をする電子がトラップされ、それに基づく放電現象が発生しうることを示した。SE PAC 実験で観測された放電と見られる現象も 本実験で示した Rotating Electrons Discharge にもとづく現象である可能性が強( )。

## 参考文献

- [1] Hess. W.H., W.C. Trichel, T.N. Davis, W.C. Beggs, G.E. Kraft, E.Stassineopoulos and E.J.R. Maier, Artificial Aurora Experiment : Experiment and Principal Results, J. Geophys. Res., 76, 6067-6081 (1971)
- [2] Getty. W.D., and L.B. Smullin , Beam plasma discharge: Build-up of oscillations , J. Appl. Phys., 34, 3421-3429 (1963)
- [3] Bernstein, W.H. Leinbach, P.J. Kellogg, S.J. Monson, and T. Hallinan , Further Laboratory Measurements of the Beam Plasma Discharge , J. Geophys. Res., 84, 7271-7278 (1979)
- [4] Sasaki. S., K. Takahashi and N. Kawashima , Beam Plasma Discharge in Space Experiment with a High Power Electron Beam , ISAS Res. Note RN. 190 (1982)
- [5] Sasaki. S., H. Tazawa, N. Kawashima and S. Teii, Rotating Electrons Discharge Model for a Spacecraft Emitting a High Power Electron Beam in Space, to be published (Journal of Geomagnetism and Geoelectricity)
- [6] Obayashi. T., and SEPAC Team, Space Experiments with Particle Accelerators : SEPAC/SPACELAB-1, ISAS Res. Note RN. 255 (1984)

原稿受付 昭和59年4月13日